长白和蓝塘猪印记基因 IGF2 和 H19 的时空表达研究

吴嫦丽 1,2 ,许继国 1 ,吴同山 3 ,卫恒习 1 ,李 莉 1 ,李紫聪 1 ,吴珍芳 1 ,张守全 1 (1 华南农业大学 动物科学学院,广东省农业动物基因组学与分子育种重点实验室,广东 广州 510642; 2 广东医学院 基础医学院,广东 湛江 524023;3 东莞市畜牧科学研究所,广东 东莞 523086)

摘要:运用实时荧光定量 PCR 技术,检测 IGF2 和 H19 印记基因在长白猪和蓝塘猪中的表达水平. 测定了 1 日龄和 180 日龄 2 个阶段的基因在各组织中的转录表达水平,按照生长性状分组,对组间的表达差异进行了比较分析. 分析不同日龄长白、蓝塘猪各组织中 IGF2、H19 的表达量. 结果显示,仔猪初生体质量大的组肝脏组织中 IGF2 基因表达水平显著高于初生体质量轻的组;180 日龄猪皮脂厚的组脂肪组织的 IGF2 基因表达量高于皮脂薄的组;1 日龄仔猪肝脏、肌肉和胃组织中 IGF2 表达量高于其他测定组织和 180 日龄的各组织;180 日龄蓝塘猪肾脏组织中的 H19 表达量显著升高.

关键词:猪; IGF2 基因; H19 基因; 基因表达水平; 生长性状; RT-PCR

中图分类号:Q756

文献标志码:A

文章编号:1001-411X(2013)03-0388-06

A Study of the mRNA Level of *IGF2* and *H19* in Landrace and Lantang Swine

WU Changli 1,2 , XU Jiguo 1 , WU Tongshan 3 , WEI Hengxi 1 , LI Li 1 , LI Zicong 1 , WU Zhenfang 1 , ZHANG Shouquan 1

(1 Guangdong Provincial Key Laboratory of Agro-animal Genomics and Molecular Breeding, College of Animal Science, South China Agricultural University, Guangzhou 510642, China;
 2 School of Basic Medical Science, Guangdong Medical College,
 Zhanjiang 524023, China; 3 Animal Science Institute of Dongguan, Dongguan 523086, China)

Abstract: In this study, the mRNA expression levels of imprinted gene *IGF2* and *H19* in Landrace and Lantang swine were investigated through real-time fluorescence quantitative PCR. The pigs were grouped according to growth traits. The relationships between mRNA expression levels with growth and reproductive traits were analyzed. The results showed the *IGF2* mRNA expression levels of liver in the heavy birth body mass group was higher than that of the light birth body mass group. When 180 days old, the *IGF2* mRNA expression levels of fat in the thick sebum group was higher than that of the thin sebum group. The *IGF2* mRNA expression levels of liver, muscle and stomach in 1 day old piglet were higher than those in other tissues. The *H19* mRNA expression levels of kidney in 180 days old Landrace pig increased significantly.

Key words: swine; IGF2 gene; H19 gene; gene expression level; growth traits; RT-PCR

胰岛素样生长因子 2 (Insulin-like growth factor 2, IGF2)作为胰岛素样生长因子家族成员之一,在胎儿生长发育、肿瘤细胞增殖、肌肉生长和基因组印迹等方面具有重要的调控作用,是影响猪胴体瘦肉率和背膘厚度的重要候选基因之一.猪 IGF2 基因具有部分印记效应^[1].研究发现,向背膘厚的遗传选择会提高血浆 IGF2 浓度. 公猪在 15~23 周龄之间,IGF2 浓度与背膘厚度呈负相关^[2],预示 IGF2 可能是调节脂肪沉积的主要因子之一. 1986 年 Florini 等^[3]提出 IGF2 是以浓度依赖的方式刺激肌纤维的增殖和分化.

H19 基因位于 IGF2 基因的下游,共有 5 个外显子,外显子碱基序列长度约 2.3 kb^[4]. H19 基因为只转录 RNA,不翻译成蛋白质的母方表达、父方缄默的印记基因. H19 是以 RNA 的形式发挥生理功能的^[4],一般认为 H19 参与了 IGF2 的表达调节 ^[5-6].

本研究以瘦肉型品种长白猪和脂肪型品种蓝塘猪为试验动物,运用实时荧光定量 PCR 技术,测定 1日龄和 180日龄 2个阶段猪的印记基因(IGF2、HI9)转录表达水平,观察其对主要内脏器官如肝脏、胃和肌肉等发育的影响,以及与背膘厚度等主要生长性状的关系,试图了解这 2个基因对猪主要组织器官发育调控及其作用机理,为猪繁殖和生长性状的研究提供有益的探索.

1 材料与方法

1.1 材料

采取1日龄的长白、蓝塘猪(各6头,每个品种3头公猪3头母猪)各组织和180日龄的长白、蓝塘猪(各6头,每个品种3头公猪3头母猪,公猪在15日龄时阉割)各组织.

1.2 方法

- 1.2.1 猪的饲养与选择 本试验选用广东省东莞市板岭原种猪场同期怀孕的6头蓝塘母猪和6头长白母猪所产仔猪.饲养试验期从1~180日龄.试验猪按照猪场常规饲养方法饲养管理.测定猪健康、生长发育正常、无外形缺陷和遗传疾患.公猪均在15日龄阉割,母猪不阉割,28 d 断奶.
- 1.2.2 屠宰测定、样品采集和分组 1日龄、180日龄试验猪每品种各6头(公母各3头),宰前绝食12h,仅供饮水.称体质量后,屠宰,取肝脏、肌肉、胃和脂肪组织样,迅速保存到液氮中.

胴体质量、皮脂肪厚度和背膘厚度等指标的测定参照《GB/T8467—1987瘦肉型种猪性能测定技术规程》.

试验猪按平均初生体质量、肝质量、胴体质量分 别分为质量大、小组,按平均胸围宽度分为宽、窄组, 按皮脂肪厚度、背膘厚度分别分为厚、薄组. 出生长 白猪体质量(1.98 ± 0.13) kg 设为初生体质量大 组,体质量(1.40 ± 0.06) kg 设为初生体质量小组, 肝质量(57.75 ± 0.32) kg 设为肝质量大组,肝质量 (42.33 ± 0.90) kg 设为肝质量小组,胸围宽(29.67 ± 0.33) cm 设为胸围宽组,胸围(25.33 ± 0.88) cm 设为 胸围窄组,胴体质量(1 083.33 ±49.10) g 设为胴体 质量大组,胴体质量(833.00 ± 46.67) g 设为胴体质 量小组. 出生蓝塘猪体质量(0.81 ±0.02) kg 设为初 生体质量大组,体质量(0.70±0.07) kg 设为初生体 质量小组.180 日龄长白猪皮脂肪(2.80 ± 0.13) cm 设为皮脂肪厚组,皮脂肪(2.40±0.08) cm 设为皮脂 肪薄组,背膘(19.69 ± 1.18) mm 设为背膘厚组,背 膘(16.52±0.33) mm 设为背膘薄组.180 日龄蓝塘 猪皮脂肪(4.69 ± 0.26) cm 设为皮脂肪厚组,皮脂肪 (4.16±0.07) cm 设为皮脂肪薄组,背膘(26.48± 0.04) mm 设为背膘厚组,背膘(24.76 ± 0.51) mm 设为背膘薄组, 胴体质量(37.27 ± 1.79) kg 设为胴 体质量大组, 胴体质量(32.13 ± 1.01) kg 设为胴体 质量小组,胸围(88.00±1.53) cm 设为胸围宽组,胸 围(82.67 ± 0.67) cm 设为胸围窄组.

- 1.2.3 RNA 抽提和反转录 总 RNA 的提取采用天根公司试剂盒,依据说明书进行. 该试剂盒在抽提过程中已经对其中的 DNA 进行处理. 以便进行后续试验.
- 1.2.4 引物的设计与合成 根据猪 IGF2、H19 基因的 DNA 序列以及 β -actin 基因的 cDNA 序列(AY 550069),用 Primer Premier 5.0 软件设计定量 PCR 引物. 所有目的基因的引物均是跨外显子设计,IGF2 跨 7、8 外显子,H19 跨 2、3 外显子. 引物序列信息如表 1 所示. 引物由生工生物工程(上海)有限公司合成.
- 1.2.5 实时荧光定量 PCR 实时荧光定量 PCR 扩增总体系为 25 μL,组成为 SYBR ®Green I Realtime PCR Master Mix 12 μL, Forword Primer (10 μmol/L) 0.4 μL, Reverse Primer (10 μmol/L) 0.4 μL, cDNA 模板 1 μL, ddH₂O 11.2 μL. 反应程序为:95 $^{\circ}$ $^$

表 1 荧光定量 RT-PCR 引物序列信息

Tah 1	The primers	of real-tim	e fluorescence	quantitative PCR
I av. I	THE PHILLS	oi icai-uiii	t muorescence	quantitative i CK

目的基因	引物序列 5'3'	产物长度/bp	t∕°C	登录号
B-actin	F: CCACGTTACTACCTTCTCC	133	60	AY550069
р-асин	R: TGATCTCCTTCTGCATCCTGT	155	00	A1330009
IGF2	F: GCTCGTCTTCTTGGCCTTG	131	60	X56094
101 2	R: CCGGCCTGCTGTTGTAGTT	131	00	130071
H19	F: TTCCTTGGAGGCTGTTCTGCT	110	60	AY044827
	R: ACGGTTTCTCATTTTGCCTTTAC	110		111011027

1.2.6 数据统计分析 同品种不同日龄间样本数据和同日龄不同品种间样本数据的差异,运用独立样本 t 检验分析. 试验数据以平均值 ± 标准误表示,用 Excel 统计.

采用 \triangle Ct 法来度量 *IGF2* 和 *HI9* 基因的表达水平. 具体方法是每个样品的 Ct 均值减去对应样品的 β -actin 基因 Ct 均值,然后以同一品种某一组织作为参照,同理得到参照样品 \triangle Ct 值,用其他样品组织的 \triangle Ct 值减去参照样品组织的 \triangle Ct 值得到各组织的 \triangle Ct 值,即 \triangle \triangle Ct = 其他样品 \triangle Ct - 参照样品 \triangle Ct,最后将每个组织相对参照组织的表达量表示为 $2^{-\triangle \triangle Ct}$.

2 结果与分析

2.1 同一猪种不同性状的基因表达差异分析

用△△Ct 法来度量 *IGF2* 基因在长白仔猪肌肉、肝脏、胃组织中表达差异,见表 2. 以初生体质量、肝质量、胸围宽以及胴体质量分组,长白仔猪肝脏 *IGF2* 基因 mRNA 表达量,由表 2 可见组间差异显著(*P* < 0.05),质量大的组显著高于质量小的组,宽组显著高于窄组. 肌肉和胃组织的 *IGF2* 基因 mRNA 表达量,组间差异均不显著(*P* > 0.05).

表 2 初生长白仔猪 *IGF2* 基因表达差异分析(2^{-△△Ct})¹⁾
Tab. 2 The mRNA levels of *IGF2* of new born Landrace pigs

<i>2</i> □ □1	mRNA 表达量			
组别	肌肉	肝脏	胃组织	
初生体质量大组	0.678 ± 0.261a	0.869 ± 0.123a	0.064 ± 0.020a	
初生体质量小组	$0.442 \pm 0.207a$	$0.341 \pm 0.133\mathrm{b}$	$0.377 \pm 0.312a$	
肝质量大组	$0.677 \pm 0.261a$	$0.869 \pm 0.123 a$	$0.064 \pm 0.020 \mathrm{a}$	
肝质量小组	$0.442 \pm 0.206a$	$0.341 \pm 0.133\mathrm{b}$	$0.377 \pm 0.312a$	
胸围宽组	$0.678 \pm 0.261a$	$0.869 \pm 0.123 a$	$0.064 \pm 0.020a$	
胸围窄组	$0.442 \pm 0.207a$	$0.341 \pm 0.133\mathrm{b}$	$0.377 \pm 0.312a$	
胴体质量大组	$0.678 \pm 0.261a$	$0.869 \pm 0.123 a$	$0.064 \pm 0.020 \mathrm{a}$	
胴体质量小组	$0.442 \pm 0.207 a$	$0.341 \pm 0.133\mathrm{b}$	$0.377 \pm 0.312a$	

1)表中数据为平均值 \pm 标准误,n=3,同列相同性状比较,同列数据后凡是有一个相同小写字母者,表示差异不显著(P>0.05,t 检验).

用 \triangle Ct 法来度量 IGF2 基因在蓝塘仔猪肌肉、肝脏、胃组织中表达差异,结果表明初生蓝塘仔猪肝脏 mRNA 表达量以初生体质量分组,组间差异显著 (P<0.05),体质量大的组显著高于体质量小的组,详见表 3. 其他分组的各组织间的表达量差异均不显著(P>0.05).

表 3 初生蓝塘仔猪 IGF2 基因表达差异分析 $(2^{-\triangle\triangle Ct})^{1)}$

Tab. 3 The mRNA levels of IGF2 of new born Lantang pigs

组别		mRNA 表达量	
组 州	肌肉	肝脏	胃组织
初生体质量大组	$0.482 \pm 0.239a$	$0.565 \pm 0.099a$	$0.356 \pm 0.174a$
初生体质量小组	$0.828 \pm 0.149a$	$0.028 \pm 0.017\mathrm{b}$	$0.649 \pm 0.286a$

1) 表中数据为平均值 ± 标准误, n = 3, 同列数据后凡是有一个相同小写字母者, 表示差异不显著(P>0.05, t 检验).

180 日龄长白猪,以皮脂厚度、背膘厚度分组,分析组间 *IGF2* 基因在肌肉、肝脏及脂肪的表达差异,结果显示肌肉中 *IGF2* 基因的表达量,皮脂薄组高于皮脂厚组,背膘薄组高于背膘厚组;肝脏的表达量,皮脂厚组高于皮脂薄组;脂肪的表达量,皮脂厚组高于皮脂薄组,背膘薄组高于背膘厚组;差异均不显著(*P* > 0.05).详见表 4.

表 4 180 日龄长白猪 IGF2 基因表达差异分析 $(2^{-\triangle\triangleCt})^{1)}$

Tab. 4 The mRNA levels of IGF2 of 180 days Landrace pigs

组别 -	mRNA 表达量			
组別	肌肉	肝脏	脂肪	
皮脂肪厚组	$0.123 \pm 0.065 a$	$0.790 \pm 0.141a$	$0.258 \pm 0.001a$	
皮脂肪薄组	$0.375 \pm 0.014a$	$0.671 \pm 0.150a$	$0.136 \pm 0.282a$	
背膘厚组	0. $280 \pm 0.010a$	$0.730 \pm 0.141a$	$0.258 \pm 0.111a$	
背膘薄组	0. $470 \pm 0.130a$	$0.732 \pm 0.161a$	0.436 ± 0.281a	

1) 表中数据为平均值 \pm 标准误, n = 3, 同列相同性状比较, 同列数据后凡是有一个相同小写字母者, 表示差异不显著(P > 0.05, t 检验).

180 日龄蓝塘猪,以皮脂厚度、背膘厚度、胴体质量和胸围宽度分组,分析组间 *IGF2* 基因在肌肉、肝脏和脂肪的表达差异,结果显示肌肉中 *IGF2* 基因的表达量,胸围宽组显著高于胸围窄组(*P*<0.05);肝脏中的表达量,皮脂肪厚组显著高于皮脂肪薄组(*P*<0.05);脂肪中的表达量,背膘厚组和胴体质量大组显著高于背膘薄组和胴体质量小组(*P*<0.05).见表 5.

表 5 180 日龄蓝塘猪 IGF2 基因表达差异分析 $(2^{-\triangle\triangleCt})^{1)}$ Tab. 5 The mRNA levels of IGF2 of 180 days Lantang pigs

组别	mRNA 表达量			
纽加	肌肉	肝脏	脂肪	
皮脂肪厚组	$0.445 \pm 0.227a$	$0.432 \pm 0.283a$	0.551 ± 0.367a	
皮脂肪薄组	$0.560 \pm 0.041 a$	$0.074 \pm 0.030\mathrm{b}$	$0.171 \pm 0.367a$	
背膘厚组	$0.384 \pm 0.186a$	$0.802 \pm 0.038 \mathrm{a}$	$0.550 \pm 0.367a$	
背膘薄组	$0.562 \pm 0.238a$	$0.424 \pm 0.228 \mathrm{a}$	$0.171 \pm 0.036\mathrm{b}$	
胴体质量大组	$0.384 \pm 0.186a$	$0.082 \pm 0.038 \mathrm{a}$	$0.550 \pm 0.367a$	
胴体质量小组	$0.562 \pm 0.238a$	$0.424 \pm 0.228 \mathrm{a}$	$0.171 \pm 0.036\mathrm{b}$	
胸围宽组	$0.710 \pm 0.150a$	$0.110 \pm 0.030 \mathrm{a}$	$0.163 \pm 0.051a$	
胸围窄组	0.170 ± 0.019 b	0.400 ± 0.030 a	0.429 ±0.286a	

1) 表中数据为平均值 \pm 标准误,n=3,同列相同性状比较,同列数据后凡是有一个相同小写字母者,表示差异不显著 (P>0.05,t 检验).

2.2 各基因在相同时期不同猪种的表达量差异分析

2.2.1 *IGF2* 基因 由表 6 可见,1 日龄的长白、蓝塘猪以猪品种分组,*IGF2* 基因在肝脏、胃组织和肌肉组织的表达量组间差异不显著(*P*>0.05).

表 6 1 日龄长白、蓝塘猪的 IGF2 基因表达量差异分析 $(2^{-\triangle\triangle Ct})^{1)}$

Tab. 6 The mRNA levels of *IGF2* of new born Landrace and Lantang pigs

		DNA ±N. E	
猪品种		mRNA 表达量	
211 HH 4.1.	肌肉	肝脏	胃
长白	$0.659 \pm 0.150a$	0.720 ± 0.123 a	0.625 ± 0.158a
蓝塘	$0.710 \pm 0.078a$	$0.674 \pm 0.129a$	$0.579 \pm 0.161a$

1) 表中数据为平均值 \pm 标准误,n=6,同列数据后凡是有一个相同小写字母者,表示差异不显著(P>0.05,t 检验).

由表 7 可见,180 日龄长白、蓝塘猪以猪品种分组,IGF2 基因在胃组织的表达量,长白猪显著高于蓝塘猪(P < 0.05). 肌肉、肝脏和脂肪组织 IGF2 基因表达量组间差异不显著(P > 0.05).

表 7 180 日龄长白、蓝塘猪的 IGF2 基因表达量差异分析 $(2^{-\triangle\triangle^{Ct}})^{1)}$

Tab. 7 The mRNA levels of *IGF2* of 180 days Landrace and Lantang pigs

X+V 11 4.P	猪品种		mRNA	表达量	
	独的性	肌肉	肝脏	胃	脂肪
	长白	0. 195 ± 0. 125a	$0.242 \pm 0.031a$	0.295 ± 0.106a	$0.093 \pm 0.038a$
	蓝塘	0.113 ± 0.035 a	$0.081 \pm 0.019a$	$0.120\pm 0.016\mathrm{b}$	0.322 ± 0.156 a

1) 表中数据为平均值 ±标准误, n = 6, 同列数据后凡是有一个相同小写字母者, 表示差异不显著(P>0.05, t 检验).

2.2.2 H19 基因 由表 8 可见,1 日龄长白、蓝塘猪以猪品种分组,基因 H19 在各组织的表达量差异不显著(P>0.05).

表 8 1 日龄长白、蓝塘猪的 H19 基因表达量差异分析 $(2^{-\triangle\triangle^{Cl}})^{1)}$

Tab. 8 The mRNA levels of *H19* of new born Landrace and Lantang pigs

X± □ ±+		mRNA 表达量	
猪品种	肌肉	肝脏	胃
长白	$0.316 \pm 0.150a$	0. 388 ± 0. 126a	$0.403 \pm 0.152a$
蓝塘	$0.417 \pm 0.178a$	$0.420 \pm 0.140a$	$0.385 \pm 0.048a$

1)表中数据为平均值±标准误,n=6,同列数据后凡是有一个相同小写字母者,表示差异不显著(P>0.05,t检验).

由表9可见,180日龄长白、蓝塘猪以猪品种分组,H19基因在各组织的表达量差异不显著(P > 0.05).

表 9 180 日龄长白、蓝塘猪的 H19 基因表达量差异分析 $(2^{-\triangle\triangle Ct})^{1)}$

Tab. 9 The mRNA levels of *H19* of 180 days Landrace and Lantang pigs

猪品种		mRNA	表达量	
伯的們	肌肉	肝脏	胃	脂肪
长白	0.518 ± 0.204a	0.592 ±0.113a	0.477 ± 0.065 a	0.590 ± 0.143a
蓝塘	$0.555 \pm 0.144a$	$0.545 \pm 0.105a$	$0.500 \pm 0.126a$	$0.417 \pm 0.130a$

1) 表中数据为平均值 ±标准误, n = 6, 同列数据后凡是有一个相同小写字母者, 表示差异不显著(P>0.05, t 检验).

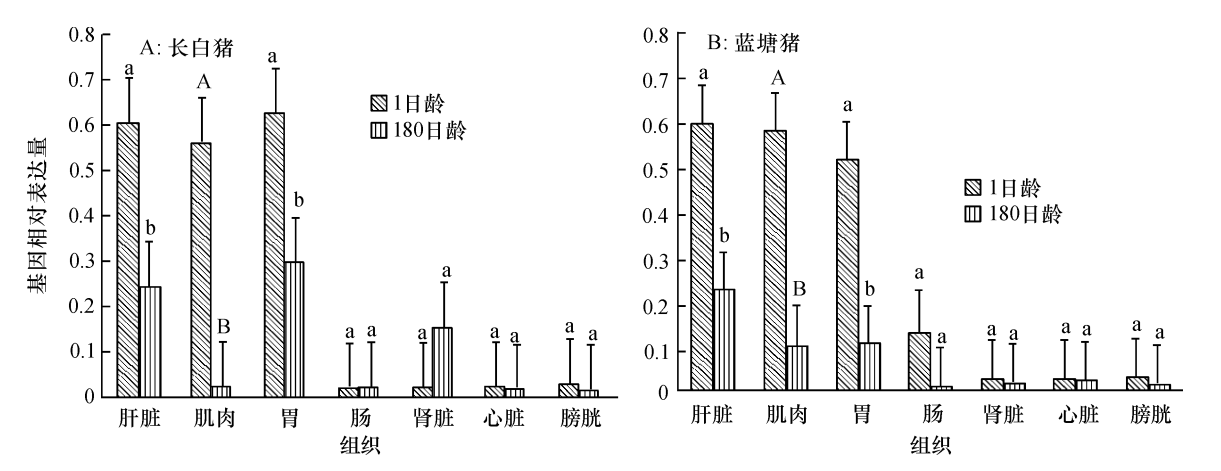
2.3 各基因的组织表达量

用 SYBR Green I 实时荧光定量 PCR 技术分析不同日龄长白、蓝塘猪各组织中 IGF2、H19 基因的表达量,结果见图 1、图 2.

图 1 显示, *IGF*2 基因在 1 日龄的长白和蓝塘猪各组织中均有不同程度的表达, 其中肝脏、肌肉和胃

组织表达量高于其他测定组织;除了长白猪的肾脏组织外,在180日龄的长白和蓝塘猪各组织的IGF2基因

的表达量都比1日龄相应品种猪组织有降低,且肝脏、 肌肉和胃组织中的表达量较1日龄时明显降低.



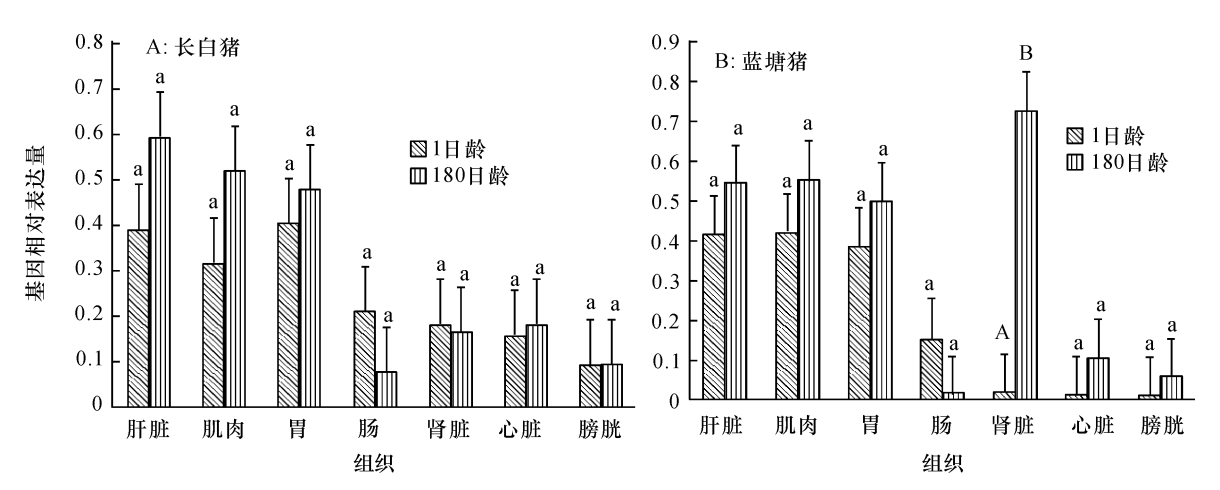
图中误差线为标准误;柱上凡有一个相同小写字母者,表示同一组织不同日龄间差异不显著(P>0.05),柱上凡有一个相同大写字母者,表示同一组织不同日龄间差异极不显著(P>0.01),t 检验.

图 1 长白、蓝塘猪 IGF2 基因的各组织表达量

Fig. 1 The mRNA expression of IGF2 of Landrace and Lantang pigs

图 2 显示 H19 基因 mRNA 在 1 日龄的长白猪各组织中均有不同程度的表达;180 日龄的长白猪的肠和肾脏组织 H19 基因 mRNA 表达量较 1 日龄的降低,其余测定组织的表达均高于 1 日龄的. 蓝

塘猪的 H19 基因 mRNA 表达量除肠组织的为 1 日龄高于 180 日龄外,其余测定组织的均为 180 日龄的表达量高于 1 日龄的表达量;其中肾脏组织的显著升高.



图中误差线为标准误;柱上凡有一个相同小写字母者,表示同一组织不同日龄间差异不显著(P>0.05),柱上凡有一个相同大写字母者,表示同一组织不同日龄间差异极不显著(P>0.01),t检验.

图 2 长白、蓝塘猪 H19 基因的各组织表达量

Fig. 2 The mRNA expression of H19 of Landrace and Lantang pigs

3 讨论

实时荧光定量 PCR 技术是在 PCR 技术基础上发展起来的一种高度灵敏的核酸定量技术. 与传统PCR 相比,实时定量 PCR 能够更加快速、灵敏,并有效地对核酸进行定量检测. 为排除残留 DNA 对定量结果的影响,除了在 RNA 抽提的过程中用 DNA 酶 I对样品进行了处理,本试验所有引物均是跨外显子

设计. 本试验采用 β -actin 作为内参照基因,以此来消除 RNA 提取效率、逆转录及扩增效率的差异,从而得到了准确可靠的结果.

IGF2 基因内含子多态性位点的基因型间脂肪沉积和背膘厚差异显著^[7-9];IGF2 基因外显子多态性位点的基因型间初生质量和背膘厚差异显著^[10];表明IGF2 是影响脂肪沉积性状的候选基因. 本试验中,以背膘厚度和皮脂厚度分组,180 日龄的长白和蓝塘猪

的肌肉组织中 IGF2 基因的表达量都呈现一致的趋 势,与背膘厚度和皮脂厚度均呈现负相关,和前人结 果相一致^[2],再次提示 IGF2 可能是调节脂肪沉积的 因子之一. 无论是长白还是蓝塘猪在 180 日龄后肌 肉、肝脏和胃组织中 IGF2 基因的 mRNA 表达量都显 著下降,说明 IGF2 在猪早期的肌肉组织、肝脏和胃 的生长发育方面起着重要的作用. Stinckens 等[11] 研 究长大猪出生后 4、8、16 和 26 周龄时不同肌肉组织 的 IGF2 基因的 mRNA 表达量的发育性变化,结果表 明,从4~26周龄,全部基因型的肌肉组织,其表达 量均出现下降趋势. 以上研究进一步验证了本研究结 果的可靠性. 本试验中 1 日龄和 180 日龄长白和蓝塘 猪的肠、肾脏和心脏等组织的 IGF2 基因的 mRNA 表 达量无显著的差异,这与侯冠彧等[12]研究显示五指山 猪8种组织从30~150 日龄 IGF2 基因的表达量随着 日龄的增加呈逐渐下降的趋势的结果不甚一致,这是 否因品种不同导致的,还有待进一步的验证.

H19 基因是与 IGF2 呈相互印记的一个基因. H19 基因的母方表达可以通过抑制母源染色体得到转录而降低 IGF2 的含量. 当 H19 基因失活后,雌性胎儿出生时的体质量比正常胎儿高 27% [13]. 试验结果显示 180 日龄的长白猪各组织中 H19 基因的 mR-NA 表达量与 1 日龄相比除肠和肾脏组织中的表达量降低外,其他组织的表达量均上升,与 Thorvaldsen等 [14] 研究所说的胎儿中高表达出生后表达受到显著抑制不一致,结果有待进一步验证. 180 日龄的蓝塘猪各组织中 H19 基因的 mRNA 表达量与 1 日龄相比除肠组织的表达量降低外,其他组织的表达量均上升,其中以肾脏组织的上升最为显著. 推测其可能参与蓝塘猪的肾脏成年后的生理变化,可能是蓝塘猪与长白猪繁殖性能差异的原因之一.

综上所述,本研究通过比较长白猪和蓝塘猪不同发育时期 *IGF2*、*H19* 基因的表达变化,证实 *IGF2*、*H19* 基因对猪脂肪沉积和生长发育有一定的影响,为 *IGF2* 和 *H19* 基因作为分子育种标记基因用于分子辅助育种提供了有益的探索.

参考文献:

- [1] LI Chao, BIN Yanfang, CURCHOE C, et al. Genetic imprinting of *H19* and *IGF2* in Domestic pigs (*Sus scrofa*) [J]. Anim Biotechnol, 2008,19(1): 22-27.
- [2] OWENS P C, GATFORD K L, WALTON P E, et al. The relationship between endogenous insulin-like growth factors

- and growth of pigs[J]. J Anim Sci, 1999, 77(8): 2098-2103.
- [3] FLORINI J R, EWTON D Z, FALEN S L, et al. Biphasic concentration dependency of stimulation of myoblast differentiation by somatomedins[J]. Am J Physiol, 1986, 250 (5Pt1): C771-C778.
- [4] AYESH S, MATOUK I, SCHNEIDER T, et al. Possible physiological role of H19 RNA[J]. Mol Carcinog, 2002, 35(2): 63-74.
- [5] HARK AT, SCHOENHERR C., KATZ DJ, et al. CTCF mediates methylation-sensitive enhancer-blocking activity at the H19/Igf2 locus[J]. Nature, 2000, 405 (6785): 486-489.
- [6] BELL A C, FELSENFELD G. Methylation of a CTCF-dependent boundary controls imprinted expression of the Igf2 gene[J]. Nature, 2000, 405(6785): 482-485.
- [7] 刘桂兰, 蒋思文, 熊远著,等. IGF2 基因 PCR-RFLP 多 态性与脂肪沉积相关性状的关联分析[J]. 遗传学报, 2003, 30(12): 1107-1112.
- [8] 虞德兵,熊锴,张宇霞,等. 猪 IGF2 Intron3 G3072A 突 变及其在背最长肌中差异表达[J]. 南京农业大学学报,2010,33(6):105-109.
- [9] OCZKOWICZ M, TYRA M, WALINOWICZ K, et al. Known mutation (A3072G) in intron 3 of the *IGF2* gene is associated with growth and carcass composition in Polish pig breeds[J]. J Appl Genet, 2009, 50(3): 257-259.
- [10] 薜慧良,徐来祥. 猪 IGF2 基因外显子 3 的遗传多态性及遗传效应分析[J]. 中国生物化学与分子生物学报, 2008, 24(7): 643-648.
- [11] STINCKENS A, VAN DEN MAAGDENBERG K, LUYTEN T, et al. The RYR1 g. 1843C > T mutation is associated with the effect of the IGF2 intron3-g. 3072G > A mutation on muscle hypertrophy[J]. Anim Genet, 2007,38(1): 67-71.
- [12] 侯冠彧,周汉林,王东劲,等. 五指山猪 8 种组织 IGF2 和 IGFBP3 基因表达的发育性变化研究[J]. 家畜生态学报, 2010, 31(5): 8-12.
- [13] LEIGHTON P A, INGRAM R S, EGGENSCHWILER J, et al. Disruption of imprinting caused by deletion of the H19 gene region in mice[J]. Nature, 1995, 375(6526): 34-39.
- [14] THORVALDSEN J L, DURN K L, BARTOLOMEI M S. Deletion of the H19 differentially methylated domain results in loss of imprinted expression of H19 and lgf2 [J]. Genes Dev, 1998, 12(23):3693-3702.

【责任编辑 柴 焰】